



804.- Pliegues F_4 en anfibolitas tipo Purrido.



805.- Deformación tardía tipo "kink-band" en anfibolitas tipo Purrido.



NOV 74

806.- Deformación de pliegue axial subvertical F_4 afectando a otras anteriores de plano axial subhorizontal F_3 .



807.- Deformación de plano axial --
subvertical F_3 en esquistos -
plagioclásicos de Ordenes.



808.- Mesocharnelas de pliegues F_2 en neises de Chimaparra; con bandas de cuarzo postdefor-
maciόn.



809.- Charnela de pliegue acostado F_3 ,
en neises de Chimparra.

810.- Aspecto de los "boudins" originados durante la fase 2 en los neises de Chimparra.





811.- Detalle de los "boudins" originados en fase 2, en los neises de Chimparra.



• NOV • 74

812.- Detalle de las charnelas de F_4 con desarrollo de esquistosidad de fractura especialmente en el núcleo del pliegue.



813.- Pliegues de fase 4 desarrollados en anfibolitas de Candelaria, afectando a pliegues - anteriores F_3 .



814.- Eclogitas englobadas en las granulitas de -
Vacariza.



815.- Perspectiva del valle tectónico de S. Saturnino.



816.- Perspectiva del valle de Moeche. En primer término y a la derecha explotación de serpentinitas.

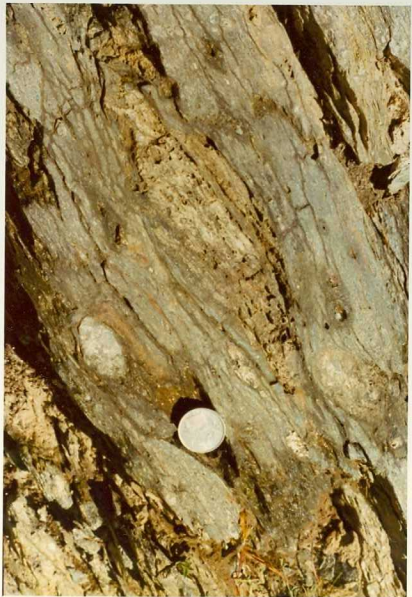


817.- "Boudins" de serpentinitas en el grupo de esquistos verdes de Moeche.



818.- Canteras en las calizas de Moeche. Al fondo y sobre túnel de entrada serpentinitas en contacto directo.

819.- Detalle de glándulas cuarzo-feldespáticas - en esquistos.





820.- Repliegues de F_3 definidos por el bandedamiento de las anfibolitas de P. Escrita.



821.- Repliegues en bandeados cuarzo-feldespáticos en los esquistos verdes del grupo Moeche.